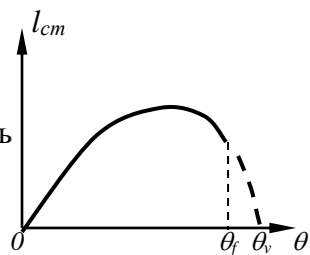
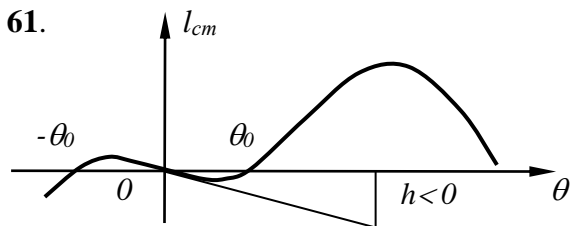


61. Диаграмма статической устойчивости судна с отрицательной МЦВ
62. Диаграмма статической устойчивости судна, имеющего угол заливания меньше угла заката
63. Диаграмма статической устойчивости судна с несимметричной загрузкой
64. Статический угол крена на ДСО от поперечного смещения груза в трюме судна
65. Предельный статический угол крена на ДСО от поперечного смещения груза на судне
66. Схема воздействия на судно статического кренящего момента от ветра
67. Статический угол крена на ДСО от воздействия ветра
68. Зона неустойчивого равновесия на ДСО судна
69. Универсальная диаграмма статической устойчивости
70. Начальная метацентрическая высота на диаграмме статической устойчивости
71. Угол заката диаграммы статической устойчивости
72. Диаграмма статической устойчивости судна с грузом леса на палубе

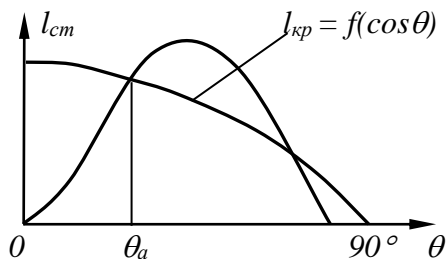
62. Угол заливания равен углу крена, при котором забортная вода может проникать внутрь корпуса через опасные отверстия



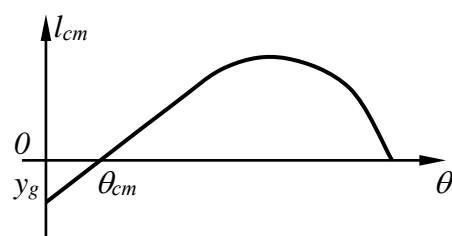
61.



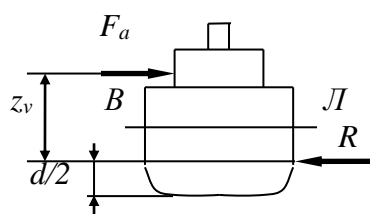
64.



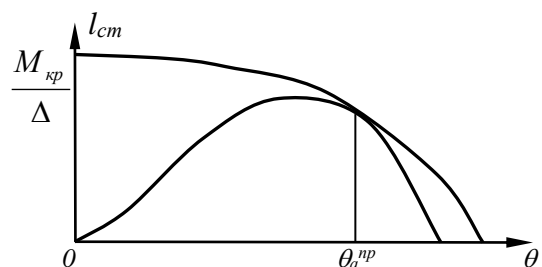
63.



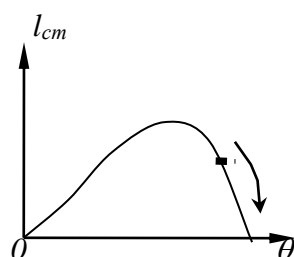
66.



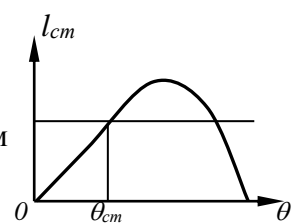
65.



68. Дополнительное кренящее воздействие на судно с креном в зоне неустойчивого равновесия приводит к его опрокидыванию



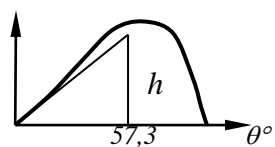
67. В практических расчетах кренящий момент от ветра принимают постоянным для любого значения угла крена



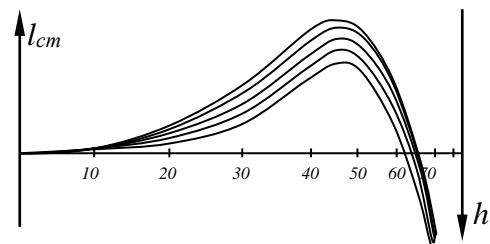
58. Равна производной от ДСО в т.0

$$h = \left. \frac{dl_{cm}}{d\theta} \right|_{\theta=0}$$

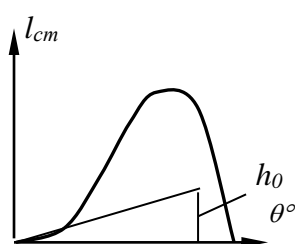
Это свойство МЦВ используется для построения проверочного треугольника



57.



60. Характеризуется пологим начальным участком и увеличением плеч статической устойчивости при больших углах крена



59. При крене, равном углу заката ($\theta = \theta_v$), судно теряет способность сопротивляться действию кренящих моментов.

Плечо статической устойчивости при крене $\theta = \theta_v$ равно нулю.